

# PROCESSI DURI CON ADRONI NELLO STATO INIZIALE:

(1)

## MODELLO A PARTONI MIGLIORATO

Consideriamo DIS:  $l h \rightarrow l' X$

$$d\sigma \propto \frac{1}{2s} L^{\mu\nu} W_{\mu\nu}(p, q)$$

$$\hat{p} = \xi p \Rightarrow \hat{s} = \xi s$$

Modello a partoni:

$$d\sigma = \sum_a d\xi f_a(\xi) \frac{1}{2\hat{s}} L^{\mu\nu} \hat{W}_{\mu\nu}^{(a)}(\hat{p}, q)$$

$$= \frac{1}{2s} L^{\mu\nu} \sum_a \int \frac{d\xi}{\xi} f_a(\xi) \hat{W}_{\mu\nu}^{(a)}(\xi p, q)$$

$$\Rightarrow W_{\mu\nu}(p, q) = \sum_a \int_0^1 \frac{d\xi}{\xi} f_a(\xi) \hat{W}_{\mu\nu}^{(a)}(\xi p, q)$$

Usiamo il metodo perturbativo per calcolare il TENSORE PARTONICO

$$\hat{W}_{\mu\nu}^{(a)} = \text{diagram 1} + \text{diagram 2} + \text{diagram 3} + \text{diagram 4} + \dots$$

MODELLO A PARTONI INGENUO

CORREZIONI VIRTUALI

$$\delta(\xi p + q)^2 = \frac{\pi}{Q^2} \delta(\xi - x)$$

$$+ \text{diagram 5} + \text{diagram 6} + \text{diagram 7} + \dots$$

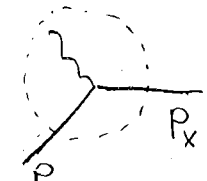
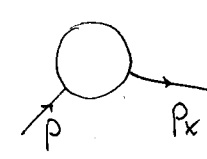
CORREZIONI REALI

- Le correzioni virtuali e reali sono separatamente divergenti IR
- La somma inclusiva sugli stati finali porta alla cancellazione delle rispettive divergenze IR da stati finali

- Considerando  $\hat{P}_a = \{P$  come unica particella dello stato iniziale adronico, non si effettua la somma sugli stati iniziali degeneri richiesta dal teorema KLN. Rimangono delle


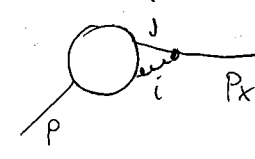
SINGOLARITÀ DI STATO INIZIALE NON CANCELLATE

Per capirlo meglio, senza fare un conto esplicito, sfruttiamo quello che abbiamo imparato dalle universalità delle singolarità IR

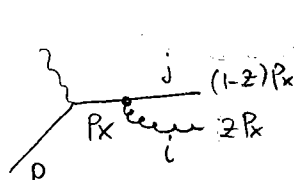
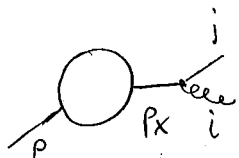
LO :  =   $\sim M^{(0)}(P, P_x)$

NLO : configurazioni IR divergenti

STATO FINALE VIRTUALE

VIRTUALE  =   $\approx -M^{(0)}(P, P_x) \int_i U_{ij}(z_i)$


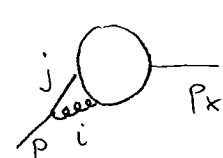
REALE

 =   $\approx M^{(0)}(P, P_x) U_{ij}(z_i)$

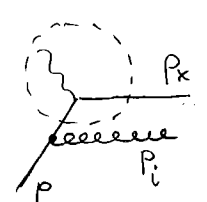
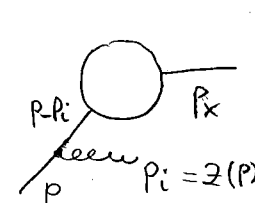
che, integrata nello sp. fasi cancella la diverg. virtuale

STATO INIZIALE

VIRTUALE

 =   $\approx -M^{(0)}(P, P_x) \int_i U_{ij}(z_i)$

REALE

 =   $\approx M^{(0)}(P-P_i, P_x) U_{ij}(z_i)$

Chiedere finché l'impulso dell'unico portone emissibile causa una non-corrispondenza tra divergenze IR virtuali e reali che non si cancellano, se non nel limite soffre in cui  $P_i \rightarrow 0$ ,  $z_i \rightarrow 0$ . (3)

Sopravvivono singolarità collineari non cancellate.

### PROBLEMA 1: ↗

Si potrebbe argomentare, giustamente, che le divergenze IR sono regolate dalla dinamica non perturbativa della teoria, che non lascia allontanare le particelle oltre le dimensioni adroniche  $R \sim 1/\Lambda_{QCD}$  ossia che taglia gli impulsi inferiori alle scale adroniche  $\Lambda_{QCD}$ .

Come abbiamo già osservato, questo comporta che le divergenze IR diventerebbero dei coefficienti logaritmici  $\sim \ln \frac{Q^2}{\Lambda_{QCD}^2}$  di fronte ad ogni potenza  $\alpha_s(Q^2) \approx \frac{1}{b_0 \ln \frac{Q^2}{\Lambda_{QCD}^2}}$ .

Rimarremmo così con un osservabile sensibile alla dinamica non perturbativa delle lunghe distanze, con un ulteriore

### PROBLEMA 2:

La serie perturbativa  $1 + \alpha_s(Q^2) \ln \frac{Q^2}{\Lambda^2} + \alpha_s^2(Q^2) \ln^2 \frac{Q^2}{\Lambda^2} + \dots$  perde di significato, contribuendo con termini di confrontabile grandezza ad ogni ordine perturbativo. Sarebbe necessario sommare tutti i termini delle forme  $\alpha_s^n \ln^n \frac{Q^2}{\Lambda^2}$  (detti logaritmi dominanti: LLQ)

La proprietà notevole della QCD che risolve  
entrambi i problemi (sensibilità IR)  
è la (risommazione e tutti gli ordini)

FATTORIZZAZIONE UNIVERSALE  $\rightarrow$  indipendente del processo  
DELLE SINGOLARITÀ COLLINEARI,

grazie alla quale le singolarità collineari che  
non si cancellano, qualora si identifichi un partone  
in uno stato iniziale (o finale), sono indipendenti  
del processo in esame, e dipendono solamente  
del tipo di partone considerato ( $q, \bar{q}, g$ ), dal tipo  
dei suoi figli ( $i, j$ , prodotti dalla scissione) e della  
frazione di impulso di uno dei due (p. es.  $z_i$ ).

Queste singolarità, di natura IR, essendo universali,  
possono essere associate alla densità partonica  $f_2$   
che viene trasformata in una nuova quantità,  
analogamente alle procedure di rinormalizzazione.

Vediamo il funzionamento di questa procedura nel  
calcolo di  $K_{FW}$ .

Nel calcolo di  $e^+e^- \rightarrow q\bar{q}g$  avevamo visto che,  
nel limite in cui il gluone veniva emesso quasi  
collineare al quark, la sezione d'urto assumeva

la forma 
$$\left. d\sigma_{NLO} \right|_{\substack{\text{reale} \\ \text{IR}}} = \sigma_{LO} \cdot \underbrace{\frac{\alpha_s}{2\pi} C_F \frac{1+(1-x_g)^2}{x_g} dx_g \frac{d\cos\theta}{1-\cos\theta}}_{V_{gg}(x_g)}$$

ove  $x_g$  è la frazione di energia del gluone, (5)  
 $x_q = 1 - x_g$  " " " del quark  
 $x_{\bar{q}} = 1$  " " " antiquark

$\theta$  è l'angolo tra  $\vec{P}_g$  e  $\vec{P}_q$ , e per  $\theta \rightarrow 0$  troviamo la singolarità collineare

$$\int \frac{d\cos\theta}{1-\cos\theta} \simeq \int \frac{d\theta^2}{\theta^2} \simeq \int \frac{dK_T^2}{K_T^2}$$



Lo stesso fattore collineare si ha nel tensore perturbato:

$$\hat{W}_{\mu\nu}^{(q)}(\xi p, q) \simeq \hat{W}_{\mu\nu}^{(q,0)}(\xi p, q) \left[ 1 + \frac{\alpha_s}{2\pi} (\text{virtuali}) \right] + \frac{\alpha_s}{2\pi} \int \frac{dK_T^2}{K_T^2} \int_0^1 dx_g C_F \frac{1+x_g^2}{1-x_g} \frac{\hat{W}_{\mu\nu}^{(q,0)}(x_g \xi p, q)}{x_g}$$

$$\Lambda_{\text{QCD}}^2 \ll K_T^2 \ll Q^2$$

$\Lambda$  è un cutoff IR (permettiamo  $\Lambda \rightarrow \Lambda_{\text{QCD}}$ )

$$P_{qq}(x_g)$$

fattore di flusso dovuto al differente riscaldamento con p tra  $\sigma$  e  $W$ .

Prendiamo in esame la componente di  $W_{\mu\nu} \propto \Pi_{\perp\mu\nu}$  cioè  $F_1$ :

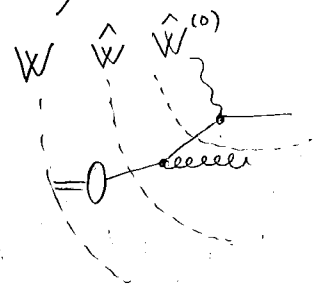
$$W_{\mu\nu}(p, q) = \left( \frac{q_\mu q_\nu}{q^2} - g_{\mu\nu} \right) F_1(x, Q^2)$$

$$\begin{aligned} \hookrightarrow \hat{p} &= \xi p \\ \hookrightarrow x_g \xi p \end{aligned}$$

$$\begin{aligned} \hookrightarrow \hat{x} &= \frac{x}{\xi} \\ \hookrightarrow \frac{x}{x_g \xi} \end{aligned}$$

per  $\hat{W}$

per  $\hat{W}^{(0)}$



$$\Rightarrow F_1^{(q)}(x) = \int_x^1 \frac{d\xi}{\xi} f_q(\xi) \hat{F}_1^{(q)}\left(\frac{x}{\xi}\right)$$

$$= \int_x^1 \frac{d\xi}{\xi} f_q(\xi) \left\{ \hat{F}_1^{(q,0)}\left(\frac{x}{\xi}\right) + \frac{\alpha_s}{2\pi} \ln \frac{Q^2}{\Lambda^2} \int_0^1 \frac{dx_g}{x_g} P_{qq}(x_g) \hat{F}_1^{(q,0)}\left(\frac{x}{x_g \xi}\right) \right\}$$

in cui per ora includiamo solo le correzioni reali da quark entrante

Cambiando variabile  $z = x/\xi$  abbiamo  $\binom{\text{ometh}}{q}$  (6)

$$F_1(x) = \int \frac{d\xi}{\xi} f(\xi) \int \frac{dz}{z} \left[ \delta(1 - \frac{z}{\xi}) + \frac{\alpha_s}{2\pi} \ln \frac{Q^2}{\Lambda^2} P(\frac{z}{\xi}) \right] \hat{F}_1^{(0)}(\frac{x}{z})$$

Definendo la convoluzione di due funzioni

$f, g: [0, 1] \rightarrow \mathbb{R}$  la funzione

$$[f * g](x) := \int_x^1 \frac{dz}{z} f(z) g(\frac{x}{z}) \quad (* \text{ è associativa e commutativa})$$

ed osservando che  $\int_x^1 \frac{dz}{z} \delta(1-z) g(\frac{x}{z}) = g(x) = [\mathbb{1} * g](x)$

$$F_1 = f * \left[ \mathbb{1} + \frac{\alpha_s}{2\pi} \ln \frac{Q^2}{\Lambda^2} P \right] * \hat{F}_1^{(0)}$$

Se interpretiamo  $f$  come una PDF "nuda"  $f^{(0)}$

ed assorbiamo il fattore divergente  $\left[ \mathbb{1} + \frac{\alpha_s}{2\pi} \ln \frac{Q^2}{\Lambda^2} P \right]$

in essa, definendo una PDF "vestita"

$$f(z, \frac{Q^2}{\Lambda^2}) := f^{(0)}(z) + \frac{\alpha_s}{2\pi} \ln \frac{Q^2}{\Lambda^2} \int \frac{d\xi}{\xi} f^{(0)}(\xi) P_{qq}(\frac{z}{\xi})$$

spesso abbreviato  $\nearrow$   
 $= [f^{(0)} * (\mathbb{1} + \frac{\alpha_s}{2\pi} \ln \frac{Q^2}{\Lambda^2} P)](z)$   
 $\searrow$

possiamo esprimere

$$F_1(x, Q^2) = [f^{(0)} * \hat{F}_1](x) = \int_x^1 \frac{dz}{z} f(z, Q^2) \hat{F}_1^{(0)}(\frac{x}{z})$$

(7)

Chiaramente  $\hat{W}_{uv}$ , oltre alla parte divergente IR  
 (proporzionale a  $\int \frac{1}{k_T^2} P(x_q)$ , ha dei contributi IR finiti.

Questa considerazione si trasporta alle  $\hat{F}_i$ :

$$F_1 = f * \left[ 1 + \frac{\alpha_s}{2\pi} \left( \ln \frac{\mu_F^2}{\Lambda^2} P + \ln \frac{Q^2}{\mu_F^2} P \right) * \hat{F}_1^{(0)} + \frac{\alpha_s}{2\pi} \mathcal{J}_1 \right] \xrightarrow{\text{IR finiti}}$$

$$= f * \underbrace{\left[ 1 + \frac{\alpha_s}{2\pi} \ln \frac{\mu_F^2}{\Lambda^2} P \right]}_{f(z, \frac{\mu_F^2}{\Lambda^2})} * \underbrace{\left[ 1 + \frac{\alpha_s}{2\pi} \left( \ln \frac{Q^2}{\mu_F^2} P * \hat{F}_1^{(0)} + \mathcal{J}_1 \right) \right]}_{C_1(\frac{x}{z}, \frac{Q^2}{\mu_F^2})}$$

in cui abbiamo separato il termine divergente IR introducendo una scala di fattorizzazione  $\mu_F$  arbitraria, che ha il ruolo di separare  $k_T \rightarrow \mu_F \gg \Lambda_{QCD}$

- la regione IR ( $k_T^2 < \mu_F^2$ ) la cui dinamica non perturbativa è inglobata nelle PDF
- la regione perturbativa ( $k_T^2 > \mu_F^2$ ) i cui contributi calcolabili e finiti sono tenuti in conto nelle "funzioni coefficiente"  $C_i(\frac{x}{z}, \frac{Q^2}{\mu_F^2})$ .

La definizione delle PDF ricalca concettualmente la procedura di rinormalizzazione delle costanti di accoppiamento: si parte da un parametro "nudo", e si definisce il parametro vestito mediante un fattore moltiplicativo che contiene le divergenze causate dall'integrazione sugli impulsi in una regione che non sappiamo controllare.

L'analogia ha però delle importanti differenze: (8)

- Qui si tratta di singolarità collineari (IR) non UV
- Qui le quantità nude sono funzioni ( $\infty$  G.L.), non numeri.

Anche se non possiamo calcolare le densità partoniche con tecniche perturbative, vediamo che è possibile predire la variazione rispetto alla scala  $\mu_F$ .

Infatti, poiché le funzioni di struttura sono osservabili mentre  $\mu_F$  è arbitrario, vale

$$\frac{dF_1}{d\ln\mu_F^2} = 0$$

Ma se vale la formula di fattorizzazione delle singolarità collineari che esprime  $F_1 = f * C_1$

$$\frac{dF_1}{d\ln\mu_F^2} = \frac{\partial f}{\partial \ln\mu_F^2} * C_1 + f * \frac{\partial C_1}{\partial \ln\mu_F^2} = 0$$

$$\text{Ora } \frac{\partial C_1}{\partial \ln\mu_F^2} = -\frac{\alpha_s}{2\pi} P * F_1^{(0)} = -\frac{\alpha_s}{2\pi} P * C_1 + O(\alpha_s^2)$$

$$\Rightarrow \frac{\partial f}{\partial \ln\mu_F^2} * C_1 = \frac{\alpha_s}{2\pi} f * P * C_1 + O(\alpha_s^2) \Rightarrow \frac{\partial f}{\partial \ln\mu_F^2} = \frac{\alpha_s}{2\pi} P * f + O(\alpha_s^2)$$

La stessa relazione si ricava dalle penultime formule di pag 6:

$$\frac{\partial f}{\partial \ln Q^2} = f^{(0)} * \frac{\alpha_s}{2\pi} P = \frac{\alpha_s}{2\pi} P * f + O(\alpha_s^2) \quad \text{poiché } f = f^{(0)} + O(\alpha_s)$$

Fino a qui abbiamo considerato solamente

- correzioni  $O(\alpha_s)$  reali
- quark nello stato iniziale che emette un gluone reale